

ژئوشیمی و پتروگرافی سازند گرو (نئوکومین-آپسین) در برش نمونه (کبیرکوه، استان ایلام)

* مریم جمالیان، دانشجوی دکتری، گروه زمین‌شناسی دانشگاه شهید بهشتی

محمدحسین آدابی، استاد، گروه زمین‌شناسی دانشگاه شهید بهشتی

میرضا موسوی، استادیار، گروه زمین‌شناسی دانشگاه شهید بهشتی

عباس صادقی، دانشیار، گروه زمین‌شناسی دانشگاه شهید بهشتی

چکیده

به منظور تعیین انواع کمربندهای رخساره‌ای، محیط رسوبی، ترکیب کانی‌شناسی اولیه، دمای قدیمه و محیط دیاژنزی سازند گرو، ۶۲۴ متر از این سازند در برش نمونه (واقع در یال جنوب غربی کبیرکوه) متعلق به نئوکومین-آپسین مورد مطالعات ژئوشیمی و پتروگرافی قرار گرفته است. در این برش مرز زیرین سازند گرو رخمنون ندارد ولی در چاه شماره ۱ کبیرکوه، مرز زیرین این سازند با سازند تبخیری گوتینی گزارش شده است. بر روی این سازند آهک‌های سازند سروک به سن آلبین-تورونین قرار می‌گیرند. اعتقاد بر این است که سازند گرو به عنوان سنگ منشاء در حوضه زاگرس عمل کرده است.

مطالعات رخساره‌ای منجر به شناسایی کمربند رخساره‌ای بخش عمیق دریا در این سازند شد. عدم وجود رخساره‌های چارچوب‌ساز، حضور رخساره‌های پلوئیدی و نبود رخساره‌های دوباره نهشته شده تائید کننده تنشیت این توالي کربناته بر روی پلاتفرم کربناته از نوع رمپ می‌باشد.

نتایج حاصل از بررسی عناصر اصلی، فرعی و ایزوتوپهای پایدار اکسیژن ۱۸ و کربن ۱۳ و رفتار آنها نسبت به یکدیگر ترکیب کانی‌شناسی اولیه آراغونیتی را نشان می‌دهد. مطالعات ژئوشیمیایی (ترسیم مقادیر ایزوتوپ اکسیژن ۱۸ در برابر منگنز و نسبت Sr/Ca در برابر منگنز) حاکی از این است که سنگ آهک‌های منطقه تحت تاثیر دیاژنز در یک سامانه دیاژنزی باز قرار داشته‌اند. دمای محاسبه شده بر اساس سنگین‌ترین ایزوتوپ اکسیژن در نمونه‌های میکریتی سازند گرو ۲۹/۲ درجه سانتی گراد است.

واژه‌های کلیدی: ژئوشیمی، پتروگرافی، محیط رسوبی رمپ، سازند گرو، زاگرس

مقدمه

این سازند به همراه دیگر سازندهای دارای پتانسیل سنگ منشاء حوضه زاگرس از دیدگاه ژئوشیمیایی مورد بررسی قرار گرفته است. از جمله این مطالعات می‌توان به مطالعات صورت گرفته توسط علاء و همکاران (Ala et al. 1980)، بوردانف و باروود (Bordenave and Burwood 1990)، بوردانف و هاک (Bordenave and Huc 1995) و اشکان (1۳۸۳) اشاره نمود. حسین‌پور نیز در سال ۱۳۸۶ به بررسی میکروfasیس‌ها و محیط رسوبی سازند گرو در کیرکوه ایلام پرداخت و ۷ میکروfasیس توسط ایشان تشخیص داده شد. ایشان همچنین مدل رسوبی سازند گرو را رمپ در نظر گرفته است.

استفاده از عناصر اصلی و فرعی و ایزوتوپهای پایدار اکسیژن و کربن بهویژه در مطالعه سنگ‌های کربناتی بخش مهمی را به خود اختصاص داده است. با استفاده از عناصر اصلی و فرعی و ایزوتوپهای اکسیژن و کربن می‌توان دما، درجه شوری، میزان و نوع دگرسانی، روند دیاژنز و ترکیب کانی‌شناسی اولیه را تعیین کرد و در مطالعات چینه‌نگاری سکانسی از آن بهره برد (Hamon and Merzeraud 2007; Adabi and Asadi Mehmandost 2008; Adabi et al. 2010).

اهداف این مطالعه شامل تعیین کمرندهای رخساره‌ای و محیط رسوبی سازند گرو و بررسی خصوصیات ژئوشیمیایی نظیر ترکیب کانی‌شناسی اولیه، دمای قدیمه و روندهای دیاژنزی است.

جایگاه زمین‌شناسی و چینه‌نگاری

تاریخی‌ترین کارهای زمین‌شناسی از کمرندهای لرستان^۲ از چین خوردگی و راندگی زاگرس^۱ واقع شده است. کمرندهای

حوضه رسوبی زاگرس بدليل وجود مخازن نفتی و اهمیت اقتصادی خاص از دیرباز مورد توجه بسیاری از زمین‌شناسان داخلی و خارجی قرار گرفته است. توالی‌های رسوبی، سنگ‌های مخزن خوب، پوش‌سنگ‌های گستردۀ ارتباط مطلوب سنگ‌های مخزن با سنگ‌های منشاء و تله‌های طاقدیسی با بستگی‌های مناسب موجب اهمیت زیاد این منطقه شده‌اند (Alsharhan and Nairn 1997). بنابراین بررسی سنگ‌های منشاء و شناسایی رخساره‌ها و بازسازی محیط رسوبی دیرینه برای توسعه میادین نفتی اهمیت زیادی دارد. از طرفی تاکنون بیشتر کارهای تحقیقاتی در رابطه با شناخت ویژگی‌های زمین‌شناسی سنگ‌های مخزن بوده و مطالعه بر روی سنگ‌های منشاء کمتر صورت گرفته است. از این‌رو در این مطالعه بخشی از سازند گرو (کرتاسه زیرین) از دیدگاه پتروگرافی و شناسایی رخساره‌ها، محیط رسوبگذاری و ژئوشیمی رسوبی مورد بررسی قرار گرفته است.

سازند گرو اولین بار توسط جیمز و وايند (James and Wynd 1965) معرفی گردید و برش نمونه آن با ضخامت بیش از ۸۰۰ متر و سن نئوکومین – آپتین در یال شمال شرقی کیرکوه در نظر گرفته شد.

به طور کلی سازند شیلی گرو از تناب و آهک‌های بسیار رسی سیاه تا خاکستری تیره حاوی رادیولاریا با شیلهای سیاه رنگ بیتومین دار و پیریتی تشکیل شده است. این سازند در لرستان مرکزی یا به عبارت دیگر مرکز حوضه رسوبی بیشتر شیلی است در حالیکه در فروافتادگی دزفول ضخامت شیلها کاهش و آهکها گسترش یافته و از مقدار رس آنها کاسته می‌شود (مطیعی ۱۳۸۲).

^۱- Closure

^۲- Lurestan Salient (LS)

بین خطوط ۱،۶۴۰،۰۰۰ تا ۱،۷۷۰،۰۰۰ شرقی (بین طولهای جغرافیایی $46^{\circ} ۳۰'$ تا $۵۴^{\circ} ۴۷'$) و ۱،۲۱۰،۰۰۰ تا ۱،۲۸۰،۰۰۰ شمالی (بین عرضهای جغرافیایی $۳۲^{\circ} ۵۳'$ تا $۳۳^{\circ} ۲۹'$) است. این تاقدیس طویل‌ترین تاقدیس در ناحیه لرستان بوده و تقریباً از ۵۰ کیلومتری شمال غربی اندیمشک شروع شده و تا ۲۰ کیلومتری جنوب شرقی شهرستان ایلام ادامه دارد.

برش نمونه سازند شیلی گرو در عرض شمالی $۴۲^{\circ} ۲۵^{\prime}$ و طول شرقی $۴۱^{\circ} ۵۵^{\prime}$ قرار داشته و در یال جنوب غربی کبیر کوه و در فاصله ۴۵ کیلومتری جنوب شرقی ایلام (در طول جاده ایلام - دره شهر) واقع است (مطیعی ۱۳۸۲) (شکل ۲). جهت دستیابی به این محل می‌توان از قسمت غربی روستای پاکل گراب واقع در یال شمال شرقی این تاقدیس وارد شد و مسیر صعب العبور کوهستانی را پیمود. در برش نمونه ضخامت سازند گرو به ۸۱۴ متر می‌رسد و با توجه به ضخامت حفاری شده این سازند در چاه شماره یک کبیر کوه به نظر می‌رسد تقریباً ۸۲ متر از این سازند در برش نمونه پوشیده بوده و غیرقابل اندازه‌گیری است. در هر حال ضخامت این سازند بر اساس کلبه شواهد موجود به ۸۹۶ متر می‌رسد (مطیعی ۱۳۸۲).

چین خوردگی و راندگی زاگرس در ایران بخش خارجی گوه کوهزایی فعال^۱ زاگرس را تشکیل می‌دهد. این گوه شامل یک توالی ناهمگون پوشش رسوبی نوپروتزوژوئیک پسین-فانروزوئیک به ضخامت تقریبی ۷ تا ۱۲ کیلومتر است (Alavi 2007). کمربند چین خوردگی و راندگی زاگرس حالت دگریخت شده حوضه رسوبی زاگرس است، حوضه‌ای که در لبه شمال شرقی (موقعیت کنونی) حاشیه قاره‌ای افرو-عربی^۲ گسترده بوده و تحت تأثیر کوهزایی کرتاسه پیشین تا عهد حاضر زاگرس قرار گرفته است (Alavi 2007).

کوهزاد زاگرس^۳ دارای سه زون تکتونیکی موازی و متمایز است (شکل ۱) که از شمال شرق به جنوب غرب شامل مجموعه مانگماهی ارومیه-دختر^۴، زون فلسفی زاگرس^۵ (Falcon 1961) و کمربند چین خوردگی و راندگی زاگرس می‌باشد (Alavi 2007). تحدبها^۶ و تعره‌های^۷ کمربند چین خوردگی و راندگی زاگرس از جنوب شرق بسمت شمال غرب عبارتند از: تحدب فارس^۸، تعر دزفول^۹ (فروافتادگی دزفول سابق) و تحدب لرستان در ایران و تعر کرکوک^{۱۰} (فروافتادگی کرکوک) در عراق (Alavi 2007).

تاقدیس نامتقارن کبیر کوه در جنوب شرقی شهرستان ایلام قرار گرفته و موقعیت جغرافیایی آن در مختصات لمبرت^{۱۱}

¹ - Zagros Fold-Thrust Belt (ZFTB)

² - Active orogenic wedge

³ - Afro-Arabian continental margin

⁴ - Zagros orogen

⁵ - Urumieh-Dokhtar magmatic assemblage (UDMA)

⁶ - Zagros Imbricate Zone (ZIZ)

⁷ - Salients

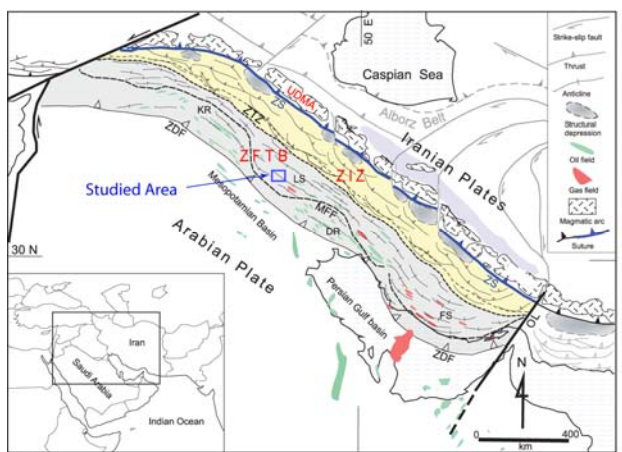
⁸ - Recesses

⁹ - Fars salient (FS)

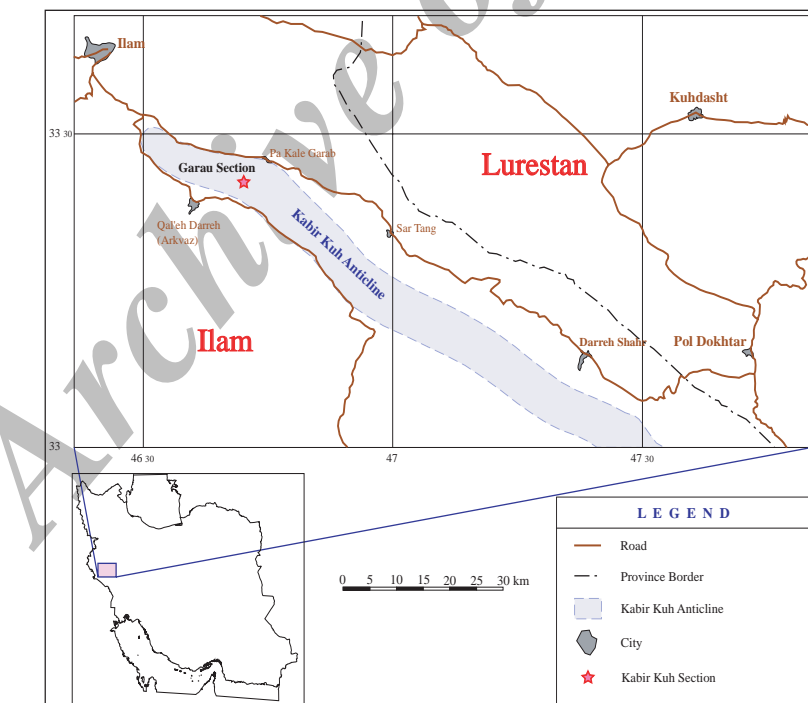
¹⁰ - Dezful recess (DR)

¹¹ - Karkuk recess (KR)

¹² - Lambert



شکل ۱- بخش‌های مختلف کمربند کوه‌زایی زاگرس با اندکی تغییرات (Alavi 2007). حروف اختصاری: DR- تقریر دزفول، FS- تحدب فارس، KR- تقریر کرکوک، LS- تحدب لرستان، MFF- خمسمیانی کوه‌ستان، OL- خطوطواره عمان، ZTZ- زون راندگی زاگرس، UDMA- مجموعه ماقمایتی ارومیه- دختر، ZDF- جبهه دگریختی زاگرس، ZFTB- کمربند چین خوردگی و راندگی زاگرس، ZIS- زون فلسفی زاگرس، ZS- زمین‌درز زاگرس.

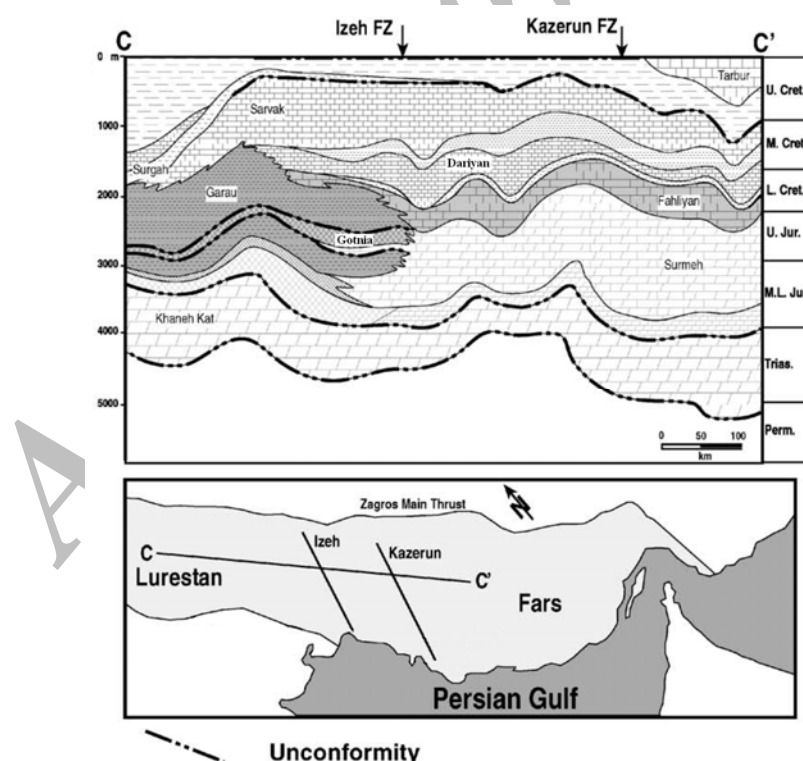


شکل ۲- موقعیت ناحیه مورد مطالعه

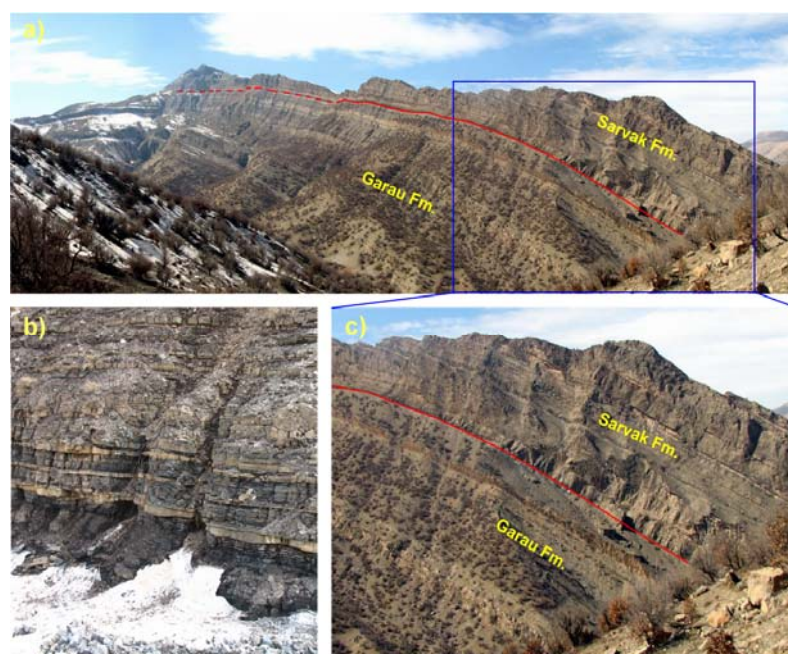
سنگ آهکهای بنگستان (آلبین-کامپانین) مشخص می شود که وجود گلوکونیت و ماسه ای بودن سر سازند گرو معرف آن است. در نواحی مرکزی لرستان سازند گرو در زیر سازند گرو سورگاه (کنیاسین) قرار می گیرد. به این ترتیب سازند گرو می تواند در زیر سازند های مختلفی واقع شود و این موضوع خود معلول پیشروی رسوبات ساحلی محاط به حوضه رسوبی گرو تفسیر می گردد (مطیعی ۱۳۸۲) (شکل ۳). در مقطع مورد مطالعه سنگ آهک های سازند سروک بر روی سازند گرو قرار می گیرند (شکل ۴).

حد پائینی این سازند در برش نمونه مشخص نیست و با توجه به شواهد زیرزمینی می توان اذعان داشت که رسوبات عمیق سازند گرو بر روی رسوبات تبخیری سازند گوتینیا به سن ژوراسیک بالائی یا سنگ آهکهای برشی معادل گوتینیا در نواحی لرستان و فروافتادگی دزفول قرار می گیرد (مطیعی ۱۳۸۲). در مقطع مورد مطالعه نیز مرز زیرین سازند گرو رخمنون ندارد اما بر اساس اطلاعات حاصل از چاه شماره ۱ کبیر کوه در مرز زیرین این سازند، سازند تبخیری گوتینیا قرار گرفته است.

وضعیت حد بالائی سازند گرو بسیار متفاوت است. مثلاً در برش نمونه این حد از طریق یک ناهمسازی فرسایشی با



شکل ۳- گسترش سازند گرو در بخش های مختلف زاگرس و چگونگی ارتباط آن با سایر سازند ها
(Sepehr and Cosgrove 2004)



شکل ۴- تصاویر سازند گرو در مقطع کبیر کوه (a) دید کلی از سازند گرو در مقطع کبیر کوه (b) موذ زیرین سازند گرو (c) مرز فوکانی سازند گرو با سازند سروک در برش مورد مطالعه

محلول آلیزارین قرمز^۱ رنگ آمیزی شدند و مورد مطالعه قرار گرفتند. در این پژوهش جمعاً ۲۰۰ مقطع نازک توسط میکروسکوپ پلاریزان به منظور تعیین میکروفاسیس‌ها و همچنین فرایندهای دیازنیکی مورد مطالعه قرار گرفتند. جهت تفسیر رخساره‌های میکروسکوپی از تقسیم‌بندی فلوگل و ویلسون (Wilson 1975; Flugel 2004) و در نامگذاری سنگ‌های کربناته از روش دانهام (Dunham 1962) استفاده شده است. هچنین ۴۰ نمونه میکریتی برای تعیین گستره مقادیر عناصر اصلی و فرعی (Ca, Mg, Sr, Na, Mn, and Fe) توسط دستگاه طیف‌سنج جذب اتمی^۲ در آزمایشگاه ژئوشیمی دانشکده علوم زمین دانشگاه شهید بهشتی تجزیه شدند. برای رسیدن به این هدف ۰/۱۲۵ گرم پودر میکریتی نمونه را توسط ۵ سی سی اسید کلریدریک ۱ مولار حل کرد

^۱- Alizarin Red-S

^۲- Atomic Absorption Spectrophotometry (AAS)

روش مطالعه

برش نمونه سازند گرو در تاقدیس کبیر کوه اولین بار در سال ۱۹۶۵ توسط هولسترند (Hulstrand 1965) برداشت و ستون چینه‌شناسی آن نیز ترسیم شد (نمونه‌های مشخص شده با RFH در شکل ۵). در مطالعه کنونی جهت انجام مطالعات صحرایی (از قبیل بررسی وضعیت لایه‌بندی و مرز سازندها) از این مقطع بازدید شد و با توجه به عدم وجود تعدادی از مقطع نازک سازند گرو در بخش زیرین آن و همچنین به منظور انجام آزمایش‌های ژئوشیمی، نمونه‌برداری تکمیلی صورت گرفت (نمونه‌های مشخص شده با BAFR در شکل ۵). در این نمونه‌برداری در مجموع تعداد ۷۳ نمونه عمده‌تاً از بخش‌های پایینی و به مقدار کمتر از بخش میانی رخمنون سازند گرو برداشت و از آنها مقطع نازک تهیه شد. تمام نمونه‌ها توسط

(Rao 1990, 1991)، کربنات‌های آب سرد کلسیتی پرمین تاسمانیا (Rao 1991)، کربنات‌های آراغونیتی ژوراسیک بالای سازند مزدوران (Adabi and Rao 1991)، کربنات‌های آراغونیتی کرتاسه زیرین سازند فهیان در مقطع تیپ (Salehi et al. 2007; Adabi et al. 2010) و کربنات‌های آراغونیتی کرتاسه بالایی (سانتونین-کامپانین) سازند ایلام (Adabi and Asadi Mehandost 2008) نوع ترکیب کانی‌شناسی اولیه سازند گرو و خصوصیات دیاژنیکی آن مورد بررسی قرار گرفت.

پتروگرافی

بخشی از سازند گرو به ضخامت ۶۲۴ متر که متعلق به نیوکومین-آپسین است و در برش مورد مطالعه دارای رخنمون می‌باشد، مورد مطالعه قرار گرفته است. بخش مورد مطالعه سازند گرو حاوی میکریت، دانه‌های اسکلتی و غیر اسکلتی با تنوع کم و مقدار زیادی پیریت می‌باشد که در ادامه شرح داده می‌شود (شکل ۵).

آنالیز رخسارهای و محیط رسوبی

مطالعه مقاطع میکروسکوپی سازند گرو به سن کرتاسه زیرین و بررسی خصوصیات فسیل‌شناسی و بافتی نمونه‌ها اعم از فراوانی آلوك‌ها (اسکلتی و غیر اسکلتی)، سیمان، ذرات آواری و ماتریکس منجر به شناسایی کمربند رخسارهای بخش عمیق دریا در توالی مورد مطالعه گردید. این کمربند رخسارهای شامل ۸ رخساره به شرح زیر است.

و به حجم ۵۰ سی سی می‌رسانیم. از محلول حاصل عناصر اصلی بر حسب درصد و فرعی بر حسب پی‌پی‌ام توسط دستگاه طیف‌سنج جذب اتمی اندازه‌گیری شدند. پس از خشک شدن رسوبات غیر قابل حل که از کاغذ صافی عبور نکرده‌اند را وزن کرده و از مقدار وزن اولیه نمونه کسر کردیم تا مواد غیر قابل حل در اسید تعیین گردد. مقدار مذکور به صورت درصد تعیین گردید و در صورت بالا بودن، نمونه‌های مذکور در تعییر و تفسیر نتایج دخالت داده نشدند. خطای اندازه‌گیری در حد $\pm 0.5\%$ برای کلسیم و منیزیم و $\pm 5 \text{ ppm}$ برای استرانسیم، سدیم، منگز و آهن است. ۱۵ نمونه از سنگهای کربناتی که قبلًا برای اندازه‌گیری عناصر اصلی و فرعی آنالیز شده بودند نیز برای اندازه‌گیری مقادیر ایزوتوبهای اکسیژن ۱۸ و کربن ۱۳ (توسط دستگاه Micromass 602D) در آزمایشگاه مرکزی علوم دانشگاه تاسمانیا در استرالیا تجزیه شدند. برای این کار ۱۵ میلی‌گرم از پودر نمونه‌ها به مدت ۲۴ ساعت تحت تاثیر اسید فسفریک ۱۰۰ درصد و در دمای ۲۵ درجه سانتیگراد قرار گرفته تا گاز CO_2 متصاعد شده از نمونه به کمک دستگاه اسپکترومتر جرمی اندازه‌گیری شود. خطای اندازه‌گیری ایزوتوبی در حد $\pm 0.001\%$ برای ایزوتوبهای اکسیژن ۱۸ و کربن ۱۳ می‌باشد.

در این مطالعه با استفاده از عناصر اصلی (Ca, Mg) و فرعی (Sr, Mn, Na, Fe)، ایزوتوبهای اکسیژن ۱۸ و کربن ۱۳ و تغییرات آنها در برابر عناصر فرعی و مقایسه آنها با کربنات‌های حاره‌ای (آراغونیت) (Milliman 1974) و (Rao and Adabi 1992; عهد حاضر؛ Rao and Jayawardane 1994; Rao and Amini 1995) کربنات‌های آراغونیتی اردویسین گروه گوردون

فرامینیفرهای پلانکتونیک و سوزن اسفنج (مقاطع عرضی و طولی) می‌باشد (شکل ۷). از اجزاء غیر اسکلتی در این

رخساره می‌توان به پیریت و دانه‌های آواری و درجاتی کوارتز اشاره کرد. فرایندهای دیاژنتیکی عمدتی موجود در این رخساره پیریتی شدن و دولومیتی شدن می‌باشند. در این رخساره نیز میزان تخلخل بسیار کم می‌باشد و تنها در بعضی فواصل به میزان کم تخلخل حفره‌ای مشاهده می‌شود. تخلخل قالبی به شکل قالب رادیولر و برخی بیوکلست‌ها و نیز قالب دولومیت به میزان خیلی کم در این رخساره مشاهده شد. این میکروfasیس معادل رخساره RMF2 فلوگل و SMF3 فلوگل و ویلسون (Wilson 1975; Flugel 2004) می‌باشد.

پکستون پلوئیدی

Peloid packstone

این ریز رخساره حاوی بیش از ۴۰ درصد پلوئید و حدود ۵ درصد استراکلست است (شکل ۸). پلوئیدها بسیار ریز در اندازه ۲۰ تا ۴۰ میکرون می‌باشند. در این رخساره کمتر از ۵ درصد استراکود و خرده صدف نیز مشاهده شد. از اجزاء غیر اسکلتی در این رخساره می‌توان به ۳ درصد پیریت و دانه‌های آواری کوارتز به میزان ۲ درصد اشاره کرد. این میکروfasیس معادل رخساره RMF4 فلوگل و SMF2 فلوگل و ویلسون (Wilson 1975; Flugel 2004) می‌باشد.

مادستون بیتومینه

Bituminous mudstone

این ریز رخساره از گل آهکی با آغشتگی زیاد به مواد بیتومینه تشکیل شده است به طوریکه در مقاطع نازک به رنگ قهوه‌ای تیره تا سیاه دیده می‌شود (شکل ۶). اجزاء اسکلتی در این رخساره بسیار کم بوده و تنها در بعضی فواصل و به شکل پراکنده دیده می‌شوند و عمدتاً از نوع رادیولر، استراکود و تعداد کمی فرامینیفرهای پلانکتونیک است. از اجزاء غیر اسکلتی در این رخساره می‌توان به مقادیر فراوان پیریت و دانه‌های درجاتی کوارتز (Autogenic quartz) اشاره کرد.

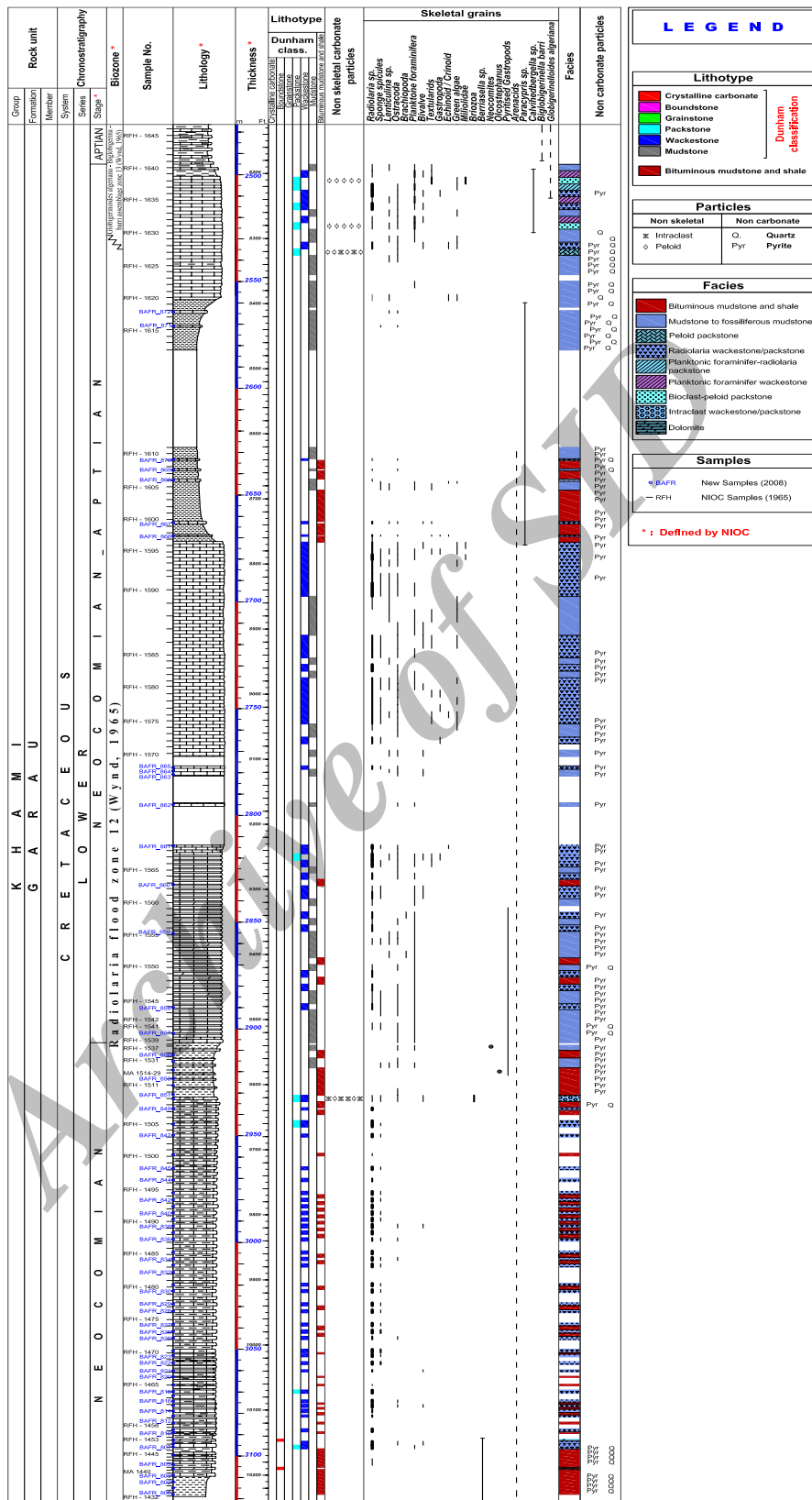
فرایندهای دیاژنتیکی عمدتی که در این رخساره عمل کرده است شامل پیریتی شدن، آهن دار شدن و دولومیتی شدن می‌باشند. این رخساره قادر تخلخل قبل ملاحظه است و تنها در بعضی فواصل به میزان خیلی کم تخلخل حفره‌ای و قالبی به شکل قالب دولومیت وجود دارد (شکل ۶). این میکروfasیس معادل رخساره RMF2 فلوگل و SMF3 فلوگل و ویلسون (Wilson 1975; Flugel 2004) می‌باشد.

لازم به ذکر است در مطالعات صحرایی رخساره‌های شیلی تیره رنگ با آغشتگی زیاد به مواد آلی تشخیص داده شدند که آنها نیز به بخش‌های عمیق حوضه تعلق دارند (شکل ۵).

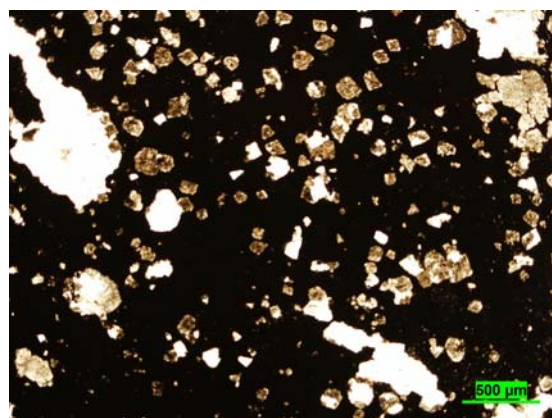
مادستون تا مادستون فسیل‌دار

Mudstone to fossiliferous mudstone

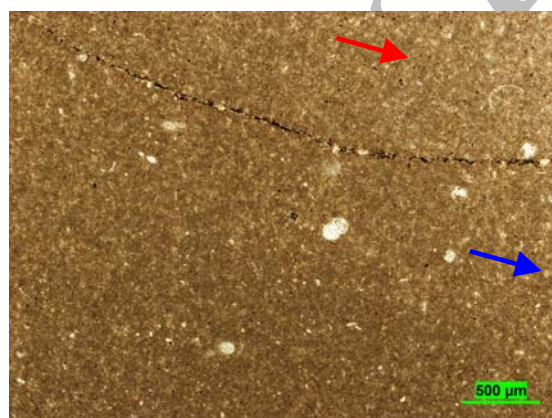
این ریز رخساره از یک مادستون خاکستری رنگ تا مادستون فسیل‌دار تشکیل شده است و در بعضی فواصل دارای کمتر از ۱۰ درصد اجزاء اسکلتی عمدتاً از نوع رادیولر و به مقدار کم دوکفه‌ای‌های پوسته نازک (پلانکتونیک)، استراکود،



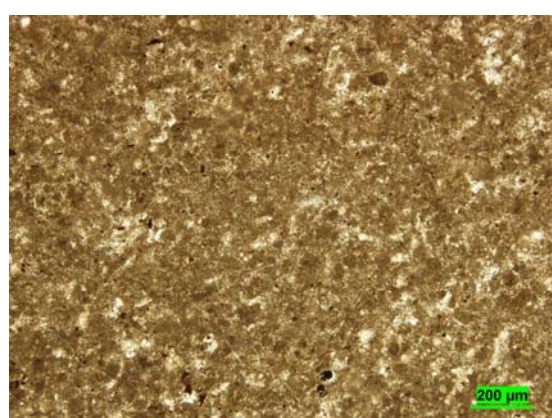
شکل ۵- تغییرات میکروfasیس‌ها در طول سازند گرو در پرش نمونه.



شکل ۶- مادستون با آغشته‌ای به مواد بیتومینه دارای تخلخل قالبی به شکل قالب دولومیت، سازند گرو، مقطع کبیر کوه، نمونه PPL, RFH-1434

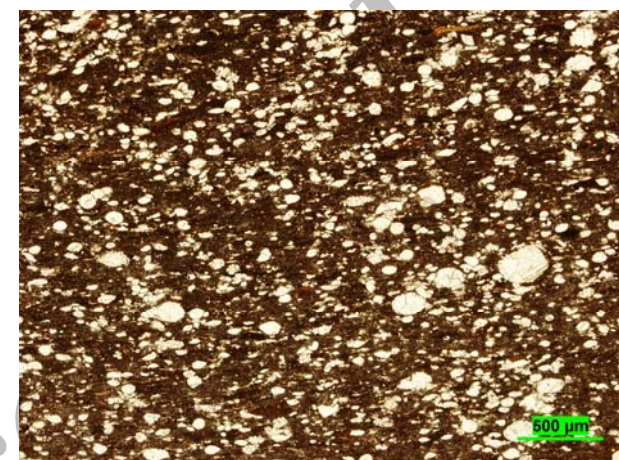


شکل ۷- مادستون تا مادستون فسیل دار، دارای استراکود (نشانگر قرمز رنگ) و سوزن اسفنج (نشانگر آبی رنگ)، سازند گرو، مقطع کبیر کوه، نمونه PPL, RFH-1545



شکل ۸- رخساره Peloid packstone، سازند گرو، مقطع کبیر کوه، نمونه PPL, RFH-1627

می توان به پیریتی شدن و دولومیتی شدن و به مقدار کمتر آهن دار شدن و فشردگی فیزیکی اشاره کرد. قالب بعضی رادیولرها در این رخساره با مواد بیتومینه پر شده است. در این رخساره تخلخل قالبی به شکل قالب بیوکلست (عمدتاً رادیولر و به مقدار کمتر سایر بیوکلست‌ها) و به شکل قالب دولومیت، تخلخل حفره‌ای و تخلخل حاصل از شکستگی به میزان کم وجود دارد. تخلخل کاتالی نیز در بعضی فواصل به میزان کم مشاهده شد. این میکروفاسیس معادل رخساره RMF5 فلوگل و SMF3 فلوگل و ویلسون (Wilson 1975; Flugel 2004)



شکل ۹- رخساره سازند گرو، مقطع کبیر کوه، نمونه RFH-1448-PPL

درصد اسپیکول اسفنج، استراکود و خرده صدف نیز در این رخساره قابل مشاهده است (شکل ۱۰).

وکستون/پکستون دارای رادیولر

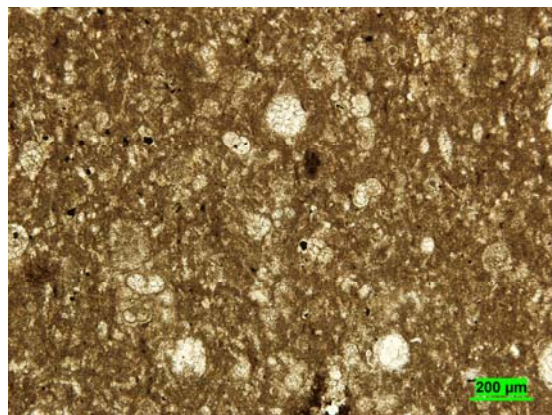
Radiolaria wackestone/packstone

این ریز رخساره حاوی ۱۰ تا ۴۰ درصد رادیولر در اندازه ۵۰ تا ۷۰۰ میکرون و به مقدار کمتر (کمتر از ۱۰ درصد) سوزن اسفنج، دوکفه‌ای‌های با پوسته نازک، استراکود، فرامینیفر پلانکتونیک، برآکیوپود، اکینودرم، خار اکینودرم و خرده صدف است (شکل ۹). قالب رادیولرها با سیمان‌های کلسیتی هم بعد تا صفحه‌ای پر شده است. از اجزاء غیراسکلتی موجود در این رخساره می‌توان به پیریت و دانه‌های کوارتز اتوژن اشاره کرد. از فرایندهای دیاژنتیکی موجود در این رخساره می‌باشد.

پکستون دارای رادیولر و فرامینیفر پلانکتونیک

Planktonic foraminifer radiolaria packstone

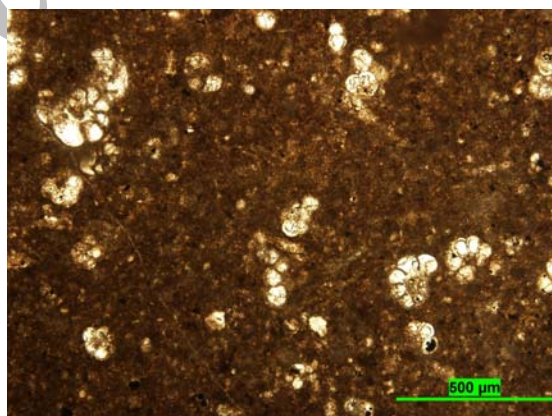
این ریز رخساره حاوی ۳۰ درصد رادیولر و ۲۰ درصد فرامینیفر پلانکتونیک در یک زمینه گل آهکی است. کمتر از



شکل ۱۰- رخساره PPL، RFH-1637، Planktonic foraminifer radiolaria packstone

این ریز رخساره حاوی ۱۰ درصد فرامینیفر پلانکتونیک و به مقدار کمتر رادیولر، استراکود، دوکفه‌ای با پوسته نازک و خردۀ صدف است (شکل ۱۱). از اجزاء غیر اسکلتی در این رخساره می‌توان به پیریت به میزان ۳ درصد اشاره کرد. از فرایندهای دیاژنتیکی موجود در این رخساره می‌توان به پیریتی شدن و دولومیتی شدن به میزان ۱۰ درصد با بلورهای ریز دولومیت در اندازه ۱۰ تا ۳۰ میکرون اشاره کرد. این میکروفاسیس معادل رخساره RMF5 فلوگل و SMF3 فلوگل و ویلسون (Wilson 1975; Flugel 2004) می‌باشد.

وکستون دارای فرامینیفر پلانکتونیک *Planktonic foraminifer wackestone*



شکل ۱۱- رخساره PPL، RFH1639، Planktonic foraminifer wackestone

از جنس گل آهکی با رنگ تیره‌تر از زمینه سنگ هستند (شکل ۱۳). در بعضی فواصل داخل آنها رادیولر کلسیتی و دولومیت در اندازه $30\text{ }\mu\text{m}$ میکرون به میزان ۵ درصد نیز دیده می‌شود. بیوکلست نیز به میزان کمتر از $10\text{ }\mu\text{m}$ در بعضی فواصل در این رخساره دیده می‌شود و شامل رادیولر کلسیتی، اسپیکول اسفنج، استراکود، دوکفه‌ای بتیک و بریوزوئر است. این رخساره در بعضی فواصل دارای آغشتگی به اکسید آهن است (شکل ۱۳). این رخساره قادر تخلخل قابل مشاهده می‌باشد و تنها تخلخل پناهگاهی مشاهده شد که توسط دوکفه‌ای‌های بتیک ایجاد شده ولی تقریباً آنها هم با سیمان RMF4 بلوکی پر شده‌اند. این میکروفاسیس معادل رخساره RMF4 فلوگل و SMF4 فلوگل و ویلسون (Wilson 1975; Flugel 2004) می‌باشد.

تفسیر کمربند رخساره‌ای دریای باز
 این کمربند رخساره‌ای از رخساره‌های مادستون بیتومینه (Bituminous mudstone)، مادستون تا مادستون فسیل دار (Mudstone to fossiliferous mudstone) پکستون پلوئیدی (Peloid packstone)، وکستون/پکستون دارای رادیولر (Radiolaria wackestone/packstone)، پکستون دارای رادیولر و فرامینیفر پلانکتونیک (Planktonic foraminifer radiolaria packstone) وکستون دارای فرامینیفر پلانکتونیک (Planktonic foraminifer wackestone)، پکستون دارای پلوئید و بیوکلست (Bioclast peloid packstone) وکستون/پکستون دارای اینتراکلست (Intraclast wackestone/packstone) این رخساره‌ها در قسمت‌های عمیق پلاتiform ته‌نشست یافته‌اند. رخساره‌های مادستون بیتومینه و مادستون تا مادستون فسیل دار

از فرایندهای دیاژنتیکی موجود در این رخساره می‌توان به پیریتی شدن و دولومیتی شدن با بلورهای نیمه‌شکل دار تا بی‌شکل دولومیت در اندازه $10\text{ }- 30\text{ }\mu\text{m}$ میکرون اشاره کرد. در این رخساره تخلخل درون ذره‌ای^۱ به شکل حجرات فسیل به میزان کمتر از $5\text{ }\mu\text{m}$ درصد مشاهده شد که در بعضی فواصل با اکسید آهن، مواد آلی و بیتومین پر شده است. این میکروفاسیس معادل رخساره RMF5 فلوگل و SMF3 فلوگل و ویلسون (Wilson 1975; Flugel 2004) می‌باشد.

پکستون دارای پلوئید و بیوکلست

Bioclast peloid packstone

این ریز رخساره حاوی $40\text{ }- 45\text{ }\mu\text{m}$ درصد پلوئید در اندازه $20\text{ }- 80\text{ }\mu\text{m}$ میکرون است (شکل ۱۲). $5\text{ }- 30\text{ }\mu\text{m}$ درصد بیوکلست شامل فرامینیفرهای پلانکتون، رادیولر و استراکود نیز در این رخساره مشاهده شد. از اجزاء غیر اسکلتی در این رخساره می‌توان به دانه‌های آواری کوارتز به میزان $2\text{ }\mu\text{m}$ درصد اشاره کرد. پیریت نیز به میزان $2\text{ }- 3\text{ }\mu\text{m}$ درصد در این رخساره قابل مشاهده است. آغشتگی به مواد آلی و بیتومین در بعضی فواصل در زمینه قابل مشاهده است. تخلخل حفره‌ای به میزان بسیار کم در این رخساره وجود دارد. این میکروفاسیس معادل رخساره RMF4 فلوگل و SMF2 فلوگل و ویلسون (Wilson 1975; Flugel 2004) می‌باشد.

وکستون/پکستون دارای اینتراکلست

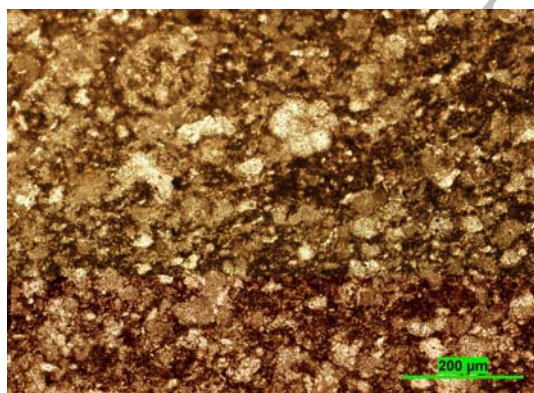
Intraclast wackestone/packstone

این ریز رخساره حاوی $20\text{ }- 50\text{ }\mu\text{m}$ درصد اینتراکلست است. $10\text{ }- 20\text{ }\mu\text{m}$ درصد پلوئید نیز در این رخساره قابل مشاهده است که به نظر می‌رسد از خرد شدن اینتراکلست‌ها به وجود آمده‌اند. اینتراکلست‌ها دارای لبه‌های تیز تا کاملاً گرد شده می‌باشند و

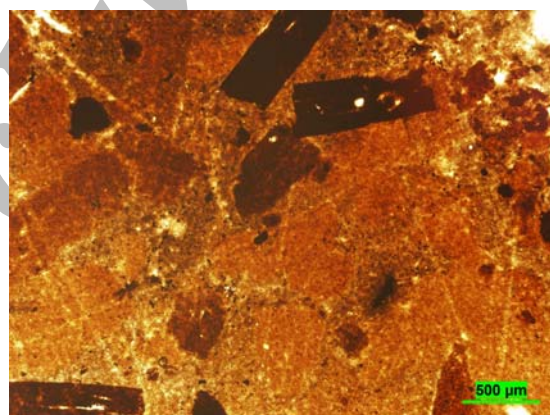
^۱- Intraparticle porosity

بخش عمیق دریا با انرژی کم را پیشنهاد می‌کند. تجمعات رادیولرها در جاهایی که دیگر گونه‌های پلانکتونیک نادر هستند نشان‌دهنده ژرف (Haas and Tardy-Filacz 2004) و سرد بودن آب دریا می‌باشد (Casey 1977).

از فراوانی فسیلی پائینی برخوردار بوده و عمدتاً دارای فسیل‌های شاخص بخش عمیق دریا می‌باشند. رخساره‌های شیلی و مادستون بیتومینه با مقادیر بالای مواد آلی و پیریت و مقدار فراوان گل در عمیق‌ترین بخش پلاتفرم گرو تهنشست یافته‌اند. در سایر رخساره‌ها فراوانی رادیولر و سوزن اسفنج، مقدار فراوان گل همراه با پیریتی شدن، کمریند رخساره‌ای



شکل ۱۲- رخساره PPL, RFH1631، سازند گرو، مقطع کبیر کوه، نمونه



شکل ۱۳- رخساره PPL, RFH-1509، سازند گرو، مقطع کبیر کوه، نمونه

در آن فاکتورها و عوامل موثر بر محیط رسوب گذاری مورد بررسی قرار می‌گیرد. در این راستا با استفاده از یافته‌ها و اطلاعات حاصل از مطالعات پتروگرافی به منظور درک

مدل رسوبی

آنالیز محیط‌های رسوب گذاری بهترین روش در تعیین شرایط و چگونگی تهنشست رسوبات در زمان تشکیل آنها می‌باشد که

می گردد تا شناسایی ترکیب کانی شناسی اولیه آنها تنها با استفاده از مطالعات پتروگرافی امکان پذیر نباشد، به طوریکه در طی فرایند دیاژنز ترکیب کانی شناسی و بافت اولیه سنگ با تبدیل آراغونیت و کلسیت پرمیزیم به کلسیت کم منیزیم و در نهایت به کلسیت کم منیزیم دیاژنتیکی^۶ تغییر کرده و شناسایی ترکیب کانی شناسی اولیه آنها مشکل می گردد. از شناسایی ترکیب کانی شناسی اولیه آنها مشکل می گردد. از اینرو تنها با استفاده از مطالعات ژئوشیمیایی (عناصر فرعی به ویژه Sr/Mn، Sr/Na و ایزو توپهای اکسیژن و کربن) می توان ترکیب کانی شناسی اولیه کربناته را تعیین نمود. همچنین استفاده از مطالعات ژئوشیمیایی ایزو توپی (اکسیژن ۱۸ و کربن ۱۳) در سنگهای کربناته به تفکیک انواع محیطهای دیاژنتیکی و تعیین دمای آب دریا در زمان تشکیل نهشته های کربناته کمک می کند.

استرانسیم

میزان استرانسیم در آهک های سازند گرو بین ۵۹۸ و ۴۷۱۶ پی پی ام (به طور متوسط ۲۷۴۸/۶ پی پی ام) در تغییر می باشد (شکل ۱۴ و جدول ۱).

مقدار استرانسیم در آراغونیت بیشتر از کلسیت است، به طوریکه با افزایش میزان آراغونیت مقدار این عنصر افزایش و با افزایش کلسیت مقدار آن کاهش می یابد (Adabi and Rao 1991; Rao and Adabi 1992; Salehi et al. 2007; Adabi and Asadi Mehmandost 2008; Adabi et al. 2010). حداکثر مقدار استرانسیم که می تواند در شبکه کلسیت غیر بیوتیک وارد شود معمولاً ۱۰۰۰ پی پی ام است (Rao 1996). بالا بودن میزان **Sr** در نمونه های میکریتی سازند گرو در برش کبیر کوه گواه روشنی بر ترکیب کانی شناسی آراغونیتی می باشد (Adabi and Rao 1991) (شکل ۱۴).

^۶- Diagenetic low magnesium calcite (dLMC)

садه تر محیط رسوب گذاری، مدل های رخساره ای^۱ یا مدل های رسوب گذاری^۲ ارائه می شوند (Flugel 2004). حسین پور (۱۳۸۶) با توجه به عدم وجود رخساره های ریزشی و لغزشی و فقدان یک دریای کم عمق حفاظت شده و ریف های سدی محصور گشته، محیط رسوبی سازند گرو در ناحیه کبیر کوه را یک رمپ هم شیب در نظر گرفته است که به طرف بخش های عمیق تر به حوضه درون فلات^۳ منتهی شده است. در منطقه مورد مطالعه نیز عدم وجود رخساره های چارچوب ساز و نبود رخساره های دوباره نهشته شده تائید گشته است (Tucker et al. 1993).

با توجه به میکروفاسیسهای شناسایی شده، دسته بندی آنها و بررسی جانبی و عمودی رخساره ها بر اساس فلوگل و ویلسون (Wilson 1975; Flugel 2004) تنها کمریند رخساره ای بخش عمیق دریا در این سازند قابل تشخیص بوده است.

عناصر اصلی و فرعی

یکی از مهمترین کاربردهای عناصر اصلی و فرعی تعیین کانی شناسی اولیه کربناته می باشد (Rao 1991; Adabi and Rao 1991; Adabi et al. 2010; Adabi and Asadi Mehmandost 2008). همان طور که می دانیم کانیهای اصلی کربناته که در آب دریا تشکیل می شوند، عمدتاً آراغونیت، کلسیت پرمیزیم^۴ و کلسیت کم منیزیم^۵ هستند که فراوانی نسبی آنها، به دما، نسبت عناصر Ca و Mg در محلول، درجه شوری و فشار گاز کربنیک بستگی دارد (Rao 1996). تاثیر فرایندهای دیاژنتیکی بر روی سنگهای کربناته موجب

^۱- Facies models

^۲- Depositional models

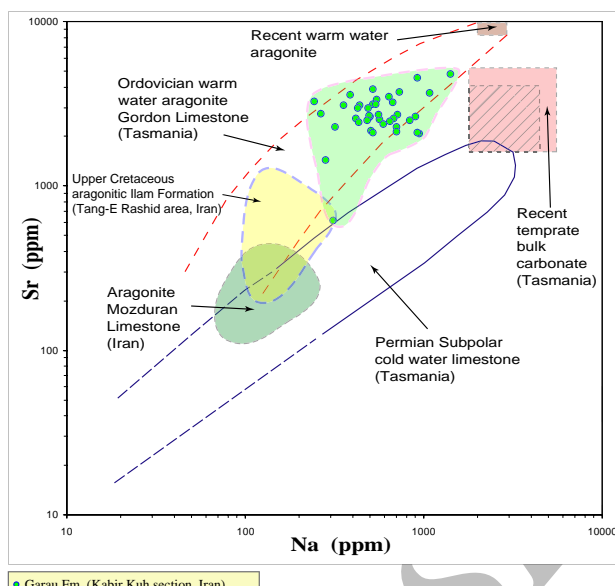
^۳- Intrashelf

^۴- High magnesium calcite (HMC)

^۵- Low magnesium calcite (LMC)

جدول ۱- تغییرات عناصر اصلی و فرعی و ایزوتوپ‌های اکسیژن ۱۸ و کربن ۱۳ در نمونه‌های مورد مطالعه قرار گرفته از سازند گرو

Section	Sample No.	Sample Name	Na (ppm)	Mn (ppm)	Sr (ppm)	Fe (ppm)	Mg (%)	Ca (%)	$\delta^{13}\text{C}_{\text{PDB}}$ (permil)	$\delta^{18}\text{O}_{\text{PDB}}$ (permil)
H U K I-R A-B K	1	BAFR 865	310	332	2246	958	0.61	38.37	2.09	-3.96
	2	BAFR 829	257	319	2707	837	0.59	38.36		
	3	BAFR 843	510	255	3797	520	0.63	38.21		
	4	BAFR 826	485	295	2558	128	0.64	38.31	-0.11	-5.97
	5	BAFR 861	274	346	1397	1565	0.56	38.57		
	6	BAFR 872	905	520	4515	5091	0.69	38.48		
	7	BAFR 841	376	317	3536	360	0.6	38.59	0.27	-5.61
	8	BAFR 856	491	1171	2607	4749	0.64	38.33		
	9	BAFR 871	822	909	2474	10247	1.32	37.54		
	10	BAFR 864	405	503	2516	2649	0.61	38.37	1.22	-4.52
	11	BAFR 859	655	404	3190	2055	0.62	38.3	1.34	-4.5
	12	BAFR 847	420	326	2389	409	0.62	38.3	0.43	-5.24
	13	BAFR 869	557	525	2482	6787	0.6	38.34		
	14	BAFR 860	511	353	3100	2795	0.61	38.3		
	15	BAFR 853	580	1012	2323	3596	0.67	38.33		
	16	BAFR 870	925	719	2026	6101	1.37	37.59		
	17	BAFR 821	885	269	2590	299	0.62	38.38	-0.28	-5.22
	18	BAFR 858	687	381	2235	2788	0.64	38.39	1.33	-4.53
	19	BAFR 863	715	514	3653	1554	0.66	38.24	1.18	-4.14
	20	BAFR 839	486	440	2621	524	0.64	38.3		
	21	BAFR 867	903	436	2058	7385	1.23	37.52		
	22	BAFR 814	690	288	2088	528	0.33	38.75		
	23	BAFR 813	1391	319	4716	1567	0.73	38.02	-1.29	-6.56
	24	BAFR 849	704	434	2664	883	0.6	38.43	0.51	-5.28
	25	BAFR 848	547	282	2649	466	0.61	38.35		
	26	BAFR 842	471	376	2461	458	0.6	38.37	0.19	-5.52
	27	BAFR 846	495	284	2110	563	0.67	38.27		
	28	BAFR 815	664	279	2532	467	0.76	38.23		
	29	BAFR 834	348	479	3048	461	0.65	38.37		
	30	BAFR 836	536	490	3311	463	0.63	38.21	0.15	-5.7
	31	BAFR 827	530	308	3072	207	0.65	38.3		
	32	BAFR 838	1070	396	3635	445	0.68	38.3		
	33	BAFR 855	508	1222	2055	6436	0.65	38.37		
	34	BAFR 866	429	359	3065	751	0.55	38.4	1.89	-3.92
	35	BAFR 850	415	588	2915	1589	0.66	38.47		
	36	BAFR 844	236	367	3212	292	0.66	38.32		
	37	BAFR 824	630	291	3455	150	0.63	38.37		
	38	BAFR 825	477	298	2906	194	0.61	38.39		
	39	BAFR 862	632	620	2433	2116	0.59	38.4	0.88	-4.76
	40	BAFR 840	304	396	598	418	11.68	23.12		



شکل ۱۴- تغییرات مقادیر استرانسیم در برابر سدیم در ستگ‌های آهکی سازند گرو. در این شکل محدوده داده‌های سازند گرو با محدوده‌های ارائه شده برای کربنات‌های معتدل‌ه عهد حاضر تاسمانیا (Rao and Adabi 1992; Rao and Jayawardane 1994; Rao and Amini 1995) پرمین تاسمانیا (Rao 1991)، آراغونیت‌های حاره‌ای عهد حاضر (Milliman 1974)، آهک‌های آراغونیتی حراره‌ای سازند مزدوران با سن ژوراسیک بالایی (Adabi and Rao 1991)، آهک‌های آراغونیتی گوردون (Gordon) تاسمانیا با سن اردوبیسین (Rao 1990) و نمونه‌های آراغونیتی سازند ایلام در رخمنون تنگ روشنید با سن کرتاسه بالایی (Adabi and Asadi Mehandost 2008) مقایسه شده است. همانطور که مشاهده می‌شود اکثر نمونه‌های آهکی سازند گرو در داخل و بقیه در نزدیکی محدوده آهک‌های آراغونیتی گوردون تاسمانیا واقع شده‌اند که به دلیل تشابه مینرالوژی می‌باشد.

سدیم

(Rao 1990) واقع شده‌اند که به دلیل تشابه کانی‌شناسی می‌باشد (شکل ۱۴).

میزان سدیم در نمونه‌های آهکی سازند گرو بین ۲۳۶ و ۱۳۹۱ پی‌بی‌ام (میانگین ۵۸۰/۹ پی‌بی‌ام) تغییر می‌کند (شکل ۱۴ و جدول ۱).

منگنز

در مرکز سدیم در رسوبات کربناته عهد حاضر به درجه شوری، تفریق بیوشیمیایی، اثرات جنبشی^۱، ترکیب کانی‌شناسی و عمق آب مستقیم دارد (Land and Hoops 1973; Rao 1996).

توزیع مقادیر Fe و Mn در نمونه‌های آهکی سازند گرو به ترتیب بین ۱۰۲۷ تا ۱۰۲۴۷ پی‌بی‌ام (میانگین ۱۹۹۶/۳ پی‌بی‌ام) و ۲۵۵ تا ۱۲۲۲ پی‌بی‌ام (میانگین ۴۶۰/۵۵ پی‌بی‌ام) در نوسان است (جدول ۱). مقادیر بالای Fe و Mn در نمونه‌های منطقه موردمطالعه می‌تواند به دلیل شرایط احیایی حاکم بر محیط‌های دیاژنتیکی باشد زیرا در شرایط احیایی، Fe و Mn به مقدار قابل توجهی می‌توانند در شبکه کلسیت جایگزین شوند

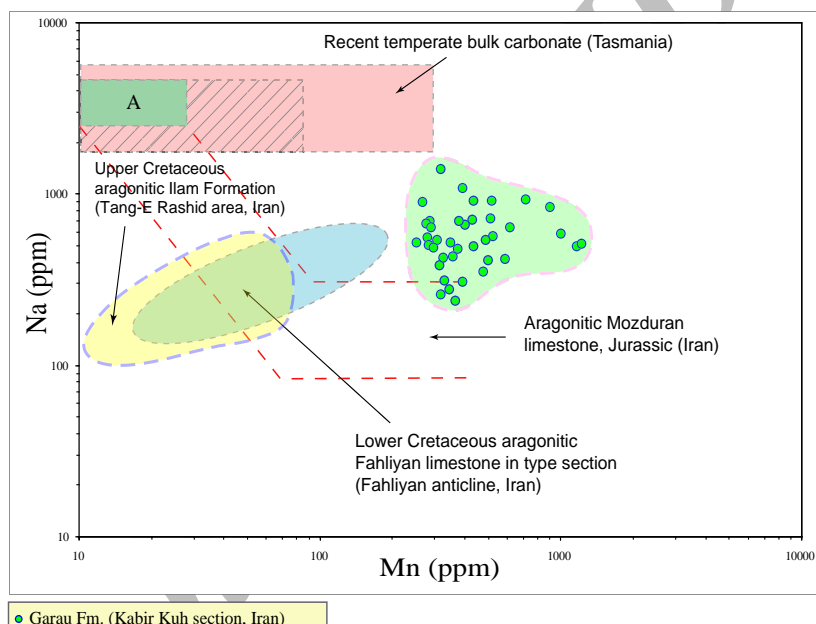
تغییرات مقادیر استرانسیم در برابر سدیم نشان می‌دهد که اکثر نمونه‌های آهکی سازند گرو در داخل و بقیه در نزدیکی محدوده آهک‌های آراغونیتی گوردون تاسمانیا

^۱- Kinetic effects

زیرین و نمونه‌های آراغونیتی سازند ایلام در رخمنون کوه رشید با سن کرتاسه بالایی قرار گرفته‌اند که نشانگر تشابه ترکیب کانی‌شناسی است (شکل ۱۵). قرار گیری نمونه‌های سازند گرو در نزدیکی نمونه‌های آراغونیتی سازند فهیلان به دلیل تشابه ترکیب کانی‌شناسی می‌باشد. نمونه‌ها به دلیل بالا بودن مقادیر Mn در داخل محدوده آراغونیتی قرار نگرفته‌اند که نشان‌دهنده وجود شرایط احیایی می‌باشد.

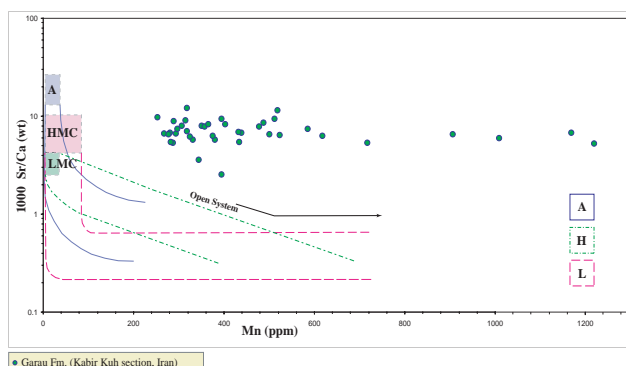
(Mucci 1988) از آنجائیکه سازند گرو در بخش‌های عمیق دریا تشکیل شده است وجود شرایط احیایی در این سازند قابل پیش‌بینی است. وجود شرایط احیایی در سازند گرو توسط وجود پیریت فراوان در مطالعات پتروگرافی این سازند تائید می‌شود (شکل ۵).

تغییرات مقادیر Na در مقابل Mn نشان می‌دهد که اکثر نمونه‌ها در نزدیکی محدوده‌های آراغونیتی سازند مزدوران، نمونه‌های آراغونیتی سازند فهیلان در مقطع تیپ با سن کرتاسه



شکل ۱۵- تغییرات مقادیر سدیم در نمونه‌های آهکی سازند گرو با محدوده‌های ارائه شده برای کربنات‌های معتدل‌هه عهد حاضر تاسمانی (Rao and Adabi 1992; Rao and Jayawardane 1994; Rao and Amini 1995) با سن ژوراسیک بالایی (Adabi and Rao 1991)، نمونه‌های آراغونیتی سازند ایلام در رخمنون تنگ رشید با سن کرتاسه بالایی (Adabi and Asadi Mehmmandost 2008) و نمونه‌های آراغونیتی سازند فهیلان در مقطع تیپ با سن کرتاسه زیرین (Salehi et al. 2007) مقایسه شده است.

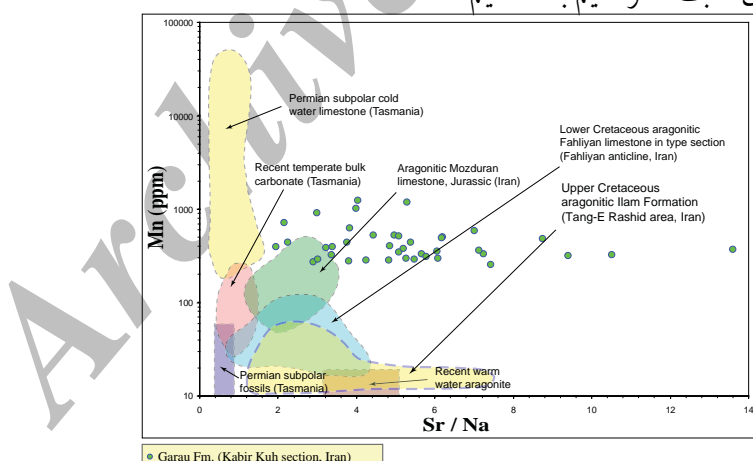
تغییرات Sr/Ca در مقابل Mn نشان می‌دهد سنگ‌آهک‌ها تحت تأثیر سیالات دیاژنزی در یک محیط دیاژنزی باز قرار گرفته‌اند (Brand and Veizer 1980) (شکل ۱۶).



شکل ۱۶- تغییرات مقادیر Sr/Ca در برابر منگنز در نمونه‌های آهکی سازند گرو. این روند نشان می‌دهد سنگ‌آهک‌های سازند گرو تحت تاثیر دیاژنزی باز قرار گرفته‌اند

بیشتر از ۱ هستند که تائید کننده ترکیب کانی‌شناسی اولیه آراغونیتی می‌باشد. تغییرات Sr/Na در مقابل Mn نشان می‌دهد اکثر نمونه‌های سازند گرو به دلیل تشابه ترکیب کانی‌شناسی در نزدیکی و چند نمونه نیز در داخل محدوده سنگ‌آهک‌های سازند مزدوران قرار گرفته‌اند (Adabi and Rao 1991) (شکل ۱۷).

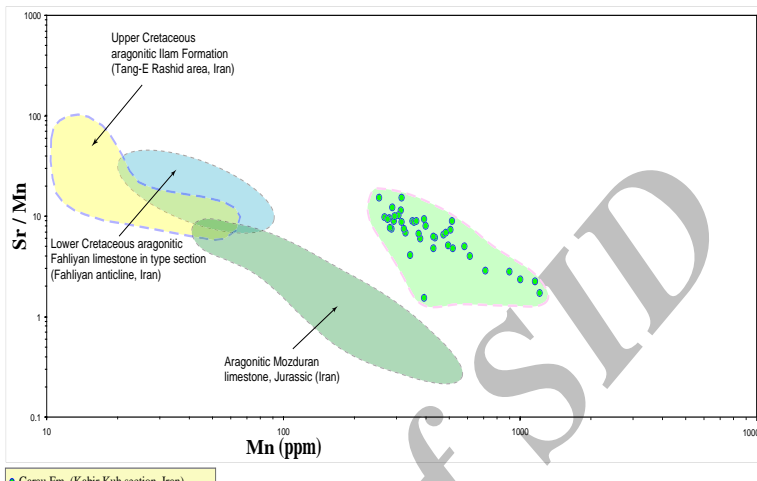
میزان استرانسیم به سدیم در نمونه‌های آهکی سازند گرو بین ۱/۹۷ تا ۱۳/۶ (میانگین ۵/۳) در نوسان است. آهک‌های آراغونیتی حاره‌ای عهد حاضر دارای مقادیر کم منگنز و نسبت بالای Sr/Na (۲/۹ تا ۵ و به طور متوسط ۴) می‌باشند، ولی کربناتهای کلسیتی مناطق معتدل عهد حاضر دارای منگنز بالا و نسبت Sr/Na پایین (۰/۴ تا ۱/۳ و به طور متوسط ۱) می‌باشند (Adabi and Rao 1991). همانطور که مشاهده می‌شود نمونه‌های آهکی سازند گرو دارای نسبت استرانسیم به سدیم



شکل ۱۷- تغییرات مقادیر Sr/Na در برابر منگنز در نمونه‌های آهکی سازند گرو. این روند نشان می‌دهد سنگ‌آهک‌های سازند گرو تحت تاثیر دیاژنزی باز قرار گرفته‌اند. در این شکل داده‌های سازند گرو با محدوده‌های ارائه شده برای کربناتهای معتدل عهد حاضر تاسمانیا (Rao and Adabi 1992; Rao and Adabi 1992; Rao and Jayawardane 1994; Rao and Amini 1995) آراغونیت‌های حاره‌ای عهد حاضر (Milliman 1974)، آهک‌های آراغونیتی حاره‌ای سازند مزدوران با سن ۱۹۹۱ (Adabi and Rao 1991)، نمونه‌های آراغونیتی سازند فهیان در مقطع تیپ با سن کرتاسه زیورین (Adabi et al. 2010) و نمونه‌های آراغونیتی سازند ایلام در رخنمون تنگ رشید با سن کرتاسه بالایی (Adabi and Rao 1991) مقایسه شده است.

آهکی سازند گرو ناشی از شرایط احیایی محیط نیز می‌باشد. تاثیر دیاژن در شرایط احیایی منجر به افزایش در میزان منگنز شده است و به همین دلیل نمونه‌های آهکی سازند گرو در داخل محدوده‌های ذکر شده قرار نگرفته‌اند (شکل ۱۸).

تغییرات نسبت Sr/Mn در برابر منگنز نشان می‌دهد نمونه‌های آهکی سازند گرو به دلیل تشابه ترکیب کانی‌شناسی در نزدیکی محدوده‌های آراغونیتی سازندهای مزدوران و فهیان قرار گرفته‌اند (شکل ۱۸). بالا بودن میزان Mn در نمونه‌های



شکل ۱۸- تغییرات مقادیر Sr/Mn در برابر منگنز آهکی سازند گرو. مقادیر بالای منگنز سیستم دیاژنی باز را نشان می‌دهد.

گرفته‌اند که به دلیل مشابهت سنی و تشابه ترکیب کانی‌شناسی می‌باشد.

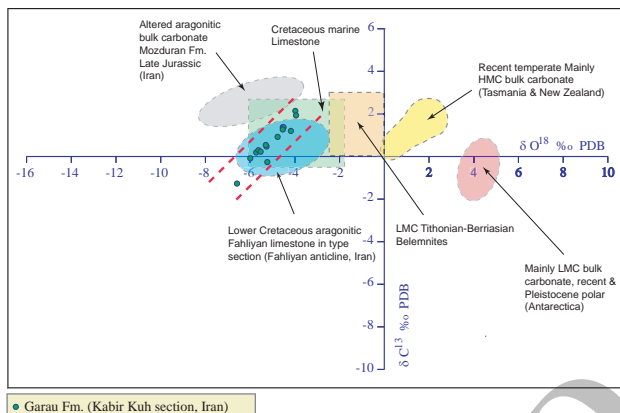
روندا رائمه شده بر اساس نتایج ایزوتوب اکسیژن ۱۸ و کربن-۱۳ به خوبی گویای تاثیر دیاژن دفعی بر روی سازند گرو می‌باشد (Adabi et al. 2010).

ترسیم مقادیر ایزوتوب اکسیژن در برابر سدیم نشان می‌دهد اکثر نمونه‌های آهکی سازند گرو به دلیل تشابه ترکیب کانی‌شناسی در داخل محدوده ایزوتوبی گروه گوردون تاسمانیا قرار گرفته‌اند (شکل ۲۰). همچنین تعدادی از نمونه‌ها در داخل محدوده ایزوتوبی سازند فهیان در مقطع تیپ نیز قرار گرفته‌اند که به دلیل مشابهت سنی و تشابه ترکیب

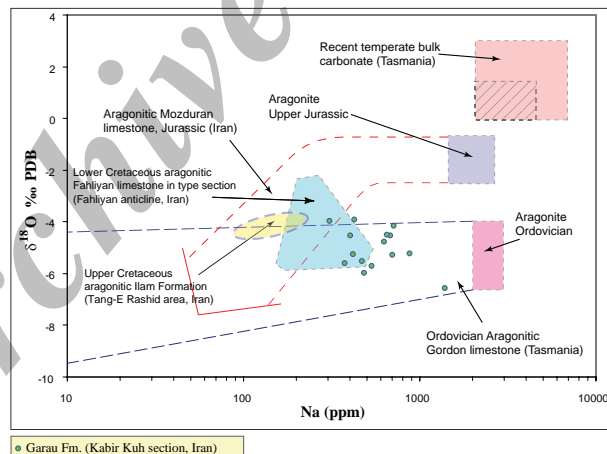
کانی‌شناسی می‌باشد.

ایزوتوب‌های اکسیژن و کربن

مقدار ایزوتوب اکسیژن ۱۸ در نمونه‌های آهکی منطقه موردمطالعه بین ۶/۵۶-۳/۹۲‰ PDB (میانگین ۵/۰۳‰) و ایزوتوب کربن ۱۳ بین ۱/۲۹-۰/۶۵۳‰ (میانگین PDB ۱۳) در تغییر است (شکل ۱۹ و جدول ۱). ترسیم مقادیر ایزوتوب اکسیژن ۱۸ در برابر کربن ۱۳ نمونه‌های آهکی سازند گرو نشان می‌دهد اکثر نمونه‌ها در داخل محدوده ایزوتوبی دریایی کرتاسه قرار گرفته‌اند که به دلیل مشابهت سنی می‌باشد. همچنین اکثر نمونه‌ها در داخل محدوده ایزوتوبی سازند فهیان در مقطع تیپ نیز قرار



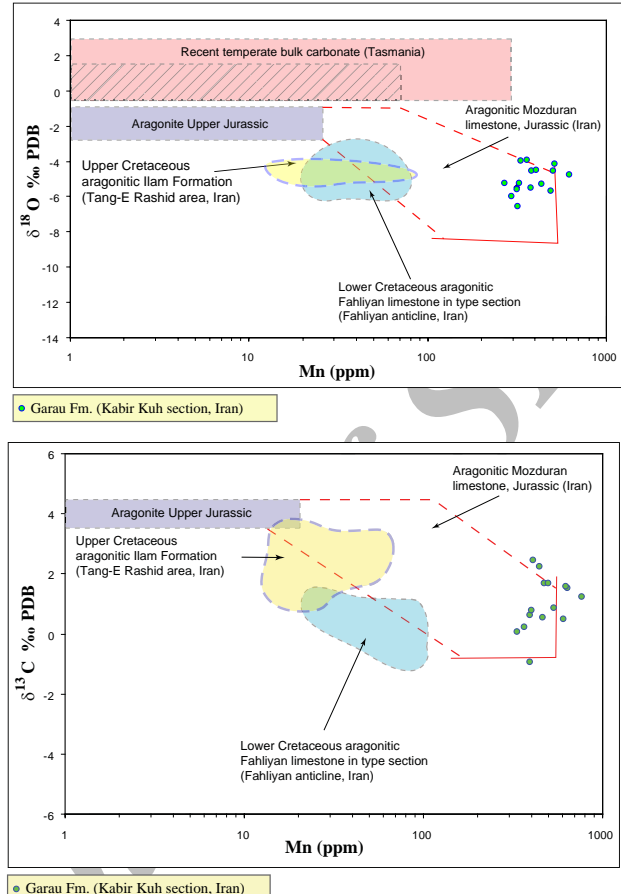
شکل ۱۹- مقایسه تغییرات ایزوتوب اکسیژن ۱۸ در برابر کربن ۱۳ نمونه‌های آهکی سازند گرو با نمونه‌های کلسیتی عهد حاضر مناطق معتدل تاسمانیا و نیوزلند (Rao and Nelson 1992)، نمونه‌های کل کربناته مناطق قطبی عهد حاضر (Adabi 1996)، داده‌های صدف بلمنیت با ترکیب کانی‌شناسی اولیه کلسیت کم‌منیزیم با سن تیتونین-بریازین (Marfil et al. 2005) سنگ آهکهای دریایی کرتاسه (Kelth and Weber 1964)، کربنات‌های آراغونیتی سازند مزدوران با سن ژوراسیک بالایی (Adabi and Rao 1991)، سنگ آهک‌های سازند فهیلان با سن کرتاسه زیرین در مقطع تیپ (Adabi et al. 2010) و نمونه‌های آراغونیتی سازند ایلام در رخنمون تنگ رشدید با سن کرتاسه بالایی (Adabi and Asadi Mehmandost 2008).



شکل ۲۰- تغییرات ایزوتوب اکسیژن در برابر سدیم در نمونه‌های آهکی سازند گرو در مقایسه با محدوده دریاهای آراغونیتی اردوسین (Rao 1991)، نمونه‌های کل کربناته عهد حاضر مناطق معتدل تاسمانیا (Rao and Adabi 1992; Rao and Jayawardane 1994; Rao and Amini 1995)، کربنات‌های آراغونیتی سازند مزدوران موبوط به بخش کم‌عمق حوضه (Rao 1991)، محدوده دریاهای آراغونیتی ژوراسیک فوکانی (Adabi 1996)، آهک‌های سازند فهیلان با سن کرتاسه زیرین در مقطع تیپ (صالحی ۱۳۸۶) و نمونه‌های آراغونیتی سازند ایلام در رخنمون تنگ رشدید با سن کرتاسه بالایی (Adabi and Asadi Mehmandost 2008).

بالای منگنز در نمونه‌ها شرایط احیایی محیط را نشان می‌دهد (شکل‌های ۲۱a و ۲۱b). عدم قرار گیری تعدادی از نمونه‌ها در محدوده آهک‌های آراغونیتی سازند مزدوران به دلیل بالاتر بودن مقادیر منگنز می‌باشد که شرایط احیایی را نشان می‌دهد.

ترسیم مقادیر ایزوتوب اکسیژن و کربن در برابر منگنز نشان می‌دهد اکثر نمونه‌های آهکی سازند گرو به دلیل تشابه ترکیب کانی‌شناسی در داخل محدوده ایزوتوبی سازند مزدوران و به دور از محدوده کلسیتی قرار گرفته‌اند. مقادیر



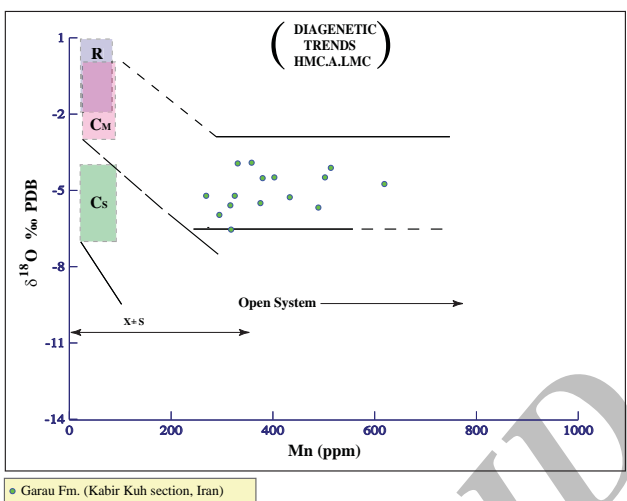
شکل ۲۱- تغییرات ایزوتوب اکسیژن و کربن در برابر منگنز در نمونه‌های آهکی سازند گرو. a) تغییرات ایزوتوب اکسیژن در برابر منگنز در نمونه‌های آهکی سازند گرو. b) تغییرات ایزوتوب کربن در برابر منگنز در نمونه‌های آهکی سازند گرو.

دیده می‌شود، نمونه‌های منطقه موردمطالعه در محدوده سامانه دیاژنری باز قرار گرفته‌اند (شکل ۲۲) زیرا دگرسانی در یک سامانه باز منجر به افزایش تمرکز کاتیونهایی با ضریب توزیع بیشتر از ۱، مانند Fe و Mn در کربناتها می‌شود. این روند مشابه شکل ۱۸ می‌باشد.

ترسیم مقادیر ایزوتوب اکسیژن در برابر منگنز در نمونه‌های آهکی سازند گرو در مقایسه با آراغونیت‌های عهد حاضر (R)، آهک‌های برلینگتون^۱ می‌سی‌سی‌پین (CM) ایالات متحده و سنگ‌آهک‌های ریدبی^۲ سیلورین (Cs) در کانادا نشان داده شده است (Brand and Veizer 1980). همان‌طور که

¹- Burlington

² -Read Bay



شکل ۲۲- تغییرات منگنز در برابر ایزوتوب اکسیژن ۱۸ در نمونه‌های آهکی سازند گرو. همان‌طور که مشاهده می‌شود، نمونه‌های منطقه موردمطالعه همانند شکل ۱۸ در محدوده سامانه دیاژنزی باز قرار گرفته‌اند.

حسب SMOW است. مقدار δ_w برای دوره‌های مختلف زمین‌شناسی متفاوت می‌باشد و مقدار δ_w برای آبهای دریایی کرتاسه -۱‰ در نظر گرفته شده است (Shackleton and Kennett 1975; Grotzke et al. 2003).

دما محاسبه شده بر اساس سنگین‌ترین ایزوتوب اکسیژن به میزان ۹۲٪-۳ در نمونه‌های میکریتی سازند گرو ۲۹/۲ درجه سانتی گراد است. با اینکه سعی شده است از نمونه‌های با کمترین دگرسانی برای تجزیه ایزوتوبی استفاده شود، با این وجود این کربناتها تحت دگرسانی قرار گرفته و لذا این دما نشانگر دما آب دریا نبوده بلکه بیشتر شاخصی برای کمترین دما دیاژنتیکی است. از سبک‌ترین ایزوتوب اکسیژن به میزان ۵۶٪-۶ برای تعیین بیشترین دما دیاژنتیکی استفاده شده است. دما بیشینه دیاژنتیکی برای سنگ‌آهکهای منطقه موردمطالعه ۴۳/۰ درجه سانتی گراد محاسبه شده است.

تعیین دما دیرینه (Palaeotemperature) یکی از مهم‌ترین کاربردهای ایزوتوب اکسیژن ۱۸ در کربناتها استفاده از آن به عنوان یک زمین‌دماسنج است (Morse and Mackenzie 1990). علت استفاده از ایزوتوب اکسیژن در تعیین دما قدمیه وابستگی آنها به دما محیط می‌باشد، به طوریکه با تغییر دما محیط مقدار ایزوتوب اکسیژن در کربنات‌ها تغییر خواهد کرد. برای تعیین دما تشکیل آهکها در سازند گرو باید از نمونه‌های آهکی دریایی با کمترین میزان دگرسانی استفاده نمود. معمولاً سنگین‌ترین ایزوتوب اکسیژن ۱۸ نشانگر دما محیط روسوبی و سبک‌ترین آن نشانگر دما دیاژنتیکی می‌باشد (Adabi 1996).

برای تعیین دما از معادله آندرسون و آرتور (Anderson and Arthur 1983) استفاده شده است:

$$T^{\circ}\text{C} = 16 - 4.14 \times (\delta_c - \delta_w) + 0.13 \times (\delta_c - \delta_w)^2$$

در این معادله T دما بر حسب سانتی گراد، δ_c مقدار ایزوتوب اکسیژن ۱۸ نمونه بر حسب PDB توسط دستگاه اسپکترومتر جرمی در 25°C ، δ_w مقدار ایزوتوب اکسیژن آب دریا در زمان تهنشست کلسیت بر

منابع

- ۱- اشکان، م.ع.، ۱۳۸۳، اصول مطالعات ژئوشیمیایی سنگ‌های منشاء هیدرولکربوری و نفت‌ها با نگرش ویژه به حوضهٔ رسوبی زاگرس، روابط عمومی شرکت ملي نفت ایران، ۳۵۵ ص.
- ۲- حسین‌پور، م.، ۱۳۸۶، بررسی میکروفاسیس‌ها و محیط رسوبی سازند گرو در کبیرکوه ایلام، جنوب غرب ایران: رساله کارشناسی ارشد، دانشگاه بوعلی همدان، ۷۹ ص.
- ۳- صالحی، م.ع.، ۱۳۸۶، ژئوشیمی، دیاژنز و محیط رسوبی سازند فهیلان در مقطع نمونه واقع در تاقدیس فهیلان (شمال غرب شهرستان نورآباد ممسنی) و مقایسه آن با چاه گچساران ۵۵ در میدان نفتی گچساران (جنوب شهرستان گچساران): رساله کارشناسی ارشد، دانشگاه شهید بهشتی، ۱۶۳ ص.
- ۴- مطیعی، م.، ۱۳۸۲، زمین‌شناسی ایران (چینه شناسی زاگرس)، طرح تدوین کتاب زمین‌شناسی ایران، انتشارات سازمان زمین‌شناسی و اکتشافات معدنی کشور، چاپ دوم، ۵۸۳ ص.
- 5-Adabi, M.H., 1996, Sedimentology and geochemistry of Upper Jurassic (Iran) and Precambrian (Tasmania) carbonates: Unpublished Ph.D. thesis, University of Tasmania, Australia, 407 p.
- 6- Adabi, M.H., and E. Asadi Mehandost, 2008, Microfacies and geochemistry of the Ilam Formation in the Tang-E Rashid area, Izeh, S.W. Iran: Journal of Asian Earth Sciences, v. 33, p. 267-277.
- 7- Adabi, M.H., and C.P. Rao, 1991, Petrographic and geochemical evidence for original aragonitic mineralogy of Upper Jurassic carbonates (Mozduran Formation), Sarakhs area, Iran: Sedimentary Geology, v. 72, p. 253-267.
- 8- Adabi, M.H., M.A. Salehi, and A. Ghabeishavi, 2010, Depositional environment, sequence stratigraphy and geochemistry of Lower Cretaceous carbonates (Fahliyan

نتیجه‌گیری

- ۱- در تاقدیس کبیرکوه واقع در منطقه لرستان، سازند گرو بر روی نهشته‌های تبخیری سازند گوتینیا قرار می‌گیرد و در زیر آهک‌های سازند سروک قرار دارد. در مقطع مورد مطالعه مرز زیرین مشخص نیست اما بر اساس اطلاعات حاصل از چاه شماره ۱ کبیرکوه این سازند تبخیری‌های گوتینیا را می‌پوشاند.
- ۲- سازند گرو با سن نئوکومین-آپسین از کمریند رخساره‌ای بخش عمیق دریا متعلق به یک پلاتفرم کربناته از نوع رمپ تشکیل شده است.
- ۳- نتایج حاصل از بررسی عناصر اصلی و فرعی و ایزوتوپهای اکسیژن ۱۸ و کربن ۱۳ بیانگر ترکیب کانی شناسی اولیه آراگونیتی برای سازند گرو می‌باشد. نتایج مطالعات ژئوشیمیایی (ترسیم مقادیر ایزوتوپ اکسیژن ۱۸ در برابر منگنز و نسبت Sr/Ca در برابر منگنز) به وضوح یک سامانه دیاژنزی باز را نشان می‌دهد.
- ۴- محاسبه دمای با حداقل دیاژنز بر اساس سنگین‌ترین مقدار ایزوتوپ اکسیژن ۱۸ دمای $29/2$ درجه سانتی‌گراد را در زمان تهنشست سازند گرو با سن نئوکومین نشان می‌دهد. دمای دیاژنتیکی نیز بر اساس سبک‌ترین ایزوتوپ اکسیژن ۱۸، $43/04$ درجه سانتی‌گراد محاسبه شده است.

قدرتانی

در اینجا بر خود لازم می‌دانیم تا از آقایان مهندس گودرزی و مهندس آریافر به دلیل همکاری در مطالعات صحرایی و سرکار خانم مهندس شجاعی مسئول آزمایشگاه ژئوشیمی دانشکده علوم زمین دانشگاه شهید بهشتی به خاطر انجام آزمایش‌های عنصری و همچنین از دانشکده علوم زمین دانشگاه تاسمانی استرالیا برای انجام آزمایش‌های ایزوتوپی تشرک و سپاسگزاری نمائیم.

- London, Geological Society Special Publication, v. 117, Prt, 4, No. 468, p. 367-376.
- 19- Flugel, E., 2004, Microfacies of Carbonate Rocks: Springer-Verlag, Berlin, Heidelberg, 976 p.
- 20- Grotzinger, J.P., D.R. Price, A.H. Ruffell, J. Mutterlose, and E. Baraboshkin, 2003, Isotopic evidence for Late Jurassic-Early Cretaceous climate change: Palaeogeography Palaeoclimatology Palaeoecology, v. 202, p. 97-118.
- 21- Haas, J., and E. Tardy-Filacz, 2004, Facies changes in the Triassic-Jurassic boundary interval in an intraplatform basin succession at Csovar (Transdanubian Range, Hungary): Sedimentary Geology, v. 168, p. 19-48.
- 22- Hamon, Y., and G. Merzeraud, 2007, C and O isotope stratigraphy in shallow marine carbonates: a tool for sequence stratigraphy (example from the Lodeve region, peritethyan domain): Swiss Journal Geoscience, v. 100, p. 71-84.
- 23- Hulstrand, R.F., 1965, Stratigraphical column, No. 20304-37, Garau Formation type section, NIOC.
- 24- James, G.A., and J.G. Wynd, 1965, Stratigraphic nomenclature of Iranian oil consortium agreement area: The American Association of Petroleum Geologists Bulletin, v. 49, p. 2182-2245.
- 25- Kelth, L.M., and J.N. Weber, 1964, Carbon and oxygen isotopic composition of limestones and fossils: Geochimica et Cosmochimica Acta, v. 28, p. 1787-1816.
- 26- Land, L.S., and G.K. Hoops, 1973, Sodium in carbonate sediments and rocks: a possible index to the salinity of diagenetic solutions: Journal of Sedimentary Petrology, v. 43, p. 614-617.
- 27- Marfil, R., M.A. Caja, M. Tsige, I.S. Al-Asam, T. Martin-Crespo, and R. Salas, 2005, Carbonate-cemented stylolites and fractures in the Upper Jurassic limestone of the Eastern Iberian Range, Spain: A recorder of palaeofluids composition and thermal history: Sedimentary Geology, v. 178, p. 237-257.
- Formation), south-west Iran: Journal of Asian Earth Sciences, v. 39, p. 148-160.
- 9- Ala, M.A., R.R.F. Kinghorn, and M. Rahman, 1980, Organic geochemistry and source rock characteristics of the Zagros petroleum province, Southwest Iran. Journal of Petroleum Geology, v. 3, p. 61-89.
- 10- Alavi, M., 2007, Structures of the Zagros fold-thrust belt in Iran: American Journal of Science, v. 307, p. 1064-1095, DOI: 10.2475/09.2007.02
- 11- Alsharhan, A.S., and A.E.M. Narin, 1997, Sedimentary Basins and Petroleum of Middle East: Elsevier, 843 p.
- 12- Anderson, T.F., and M.A. Arthur, 1983, Stable isotopes of oxygen and carbon and their application to sedimentologic and paleoenvironmental problems. In: Arthur, M.A., T.F. Anderson, I.R. Kaplan, J. Veizer, and L.S. Land, (Eds.): Stable Isotopes in Sedimentary Geology: Society of Economic Paleontology and Mineralogy, Short Course. v. 10, p. 1-15.
- 13- Bordenave, M.L., and R., Burwood, 1990, Source rock distribution and maturation in the Zagros Orogenic Belt: Provenance of Asmari and Bangestan reservoir oil accumulations, Organic Geochemistry. v. 16, p. 369-387.
- 14- Bordenave, M.L., and A.Y., Huc, 1995, The Cretaceous source rock in the Zagros Foothills of Iran: Reve De Institut Francais Du Petrole, v. 50, p. 727-754.
- 15- Brand, U., and J. Veizer, 1980, Chemical diagenesis of a multicomponent carbonate system – 1: trace elements: Journal of Sedimentary Petrology, v. 50, p. 1219–1236.
- 16- Casey, R.E.P., 1977, The ecology and distribution of recent radiolarian: In Ramsey, A.T.S., (Eds.) Oceanic Micropaleontology, Academic Press, London, v. 2, p. 809-845.
- 17- Dunham, R.J., 1962, Classification of carbonate rocks according to depositional texture: American Association of Petroleum Geologists, Mem 1: p. 108–121.
- 18- Falcon, N.L., 1961, Major earth – flexuring in the Zagros mountain of Southwest Iran: Q. J.

- 37- Rao, C.P., 1996, Modern Carbonates, Tropical, Temperate, Polar. Introduction to Sedimentology and Geochemistry, Hobart (Tasmania), 206 p.
- 38- Salehi, M.A., M.H. Adabi, H. Ghalavand, and A. Ghobishavi, 2007, Reconstruction of the sedimentary environment and the petrographic and geochemical evidence for the original aragonite mineralogy of Lower Cretaceous carbonates (Fahliyan Formation) in the Zagros sedimentary basin, Iran: 13th Bathurst Meeting of Carbonate Sedimentologists, UK. (Poster).
- 39- Sepehr, M., and J.W. Cosgrove, 2004, Structural framework of the Zagros Fold-Thrust Belt, Iran: Marine and Petroleum Geology, v. 21, p. 829-843.
- 40- Shackleton, N.J., and J.P. Kennett, 1975, Paleotemperature history of the Cenozoic and the initiation of Antarctic glaciation: oxygen and carbon isotope analyses in DSDP Site 277, 279 and 281. In: Kennett, J.P. and R.E. Houtz, (Eds.) Initial Report of the Deep-Sea Drilling Project, XXIX: U.S. Gort. Printing Office, Washington , D.C., p. 743-755.
- 41- Tucker, M.E., F. Calvet, and D. Hunt, 1993, Sequence stratigraphy of carbonate ramps: systems tracts, models and application to the Muschelkalk carbonate platform of eastern Spain. In: Posamentier, H.W., C.P. Summerhayes, B.U. Haq, and G.P. Allen, (Eds.), Sequence Stratigraphy and Facies Associations, v. 18. International Association of Sedimentology, Special Publication, p. 397–415.
- 42- Wilson J.L., 1975, Carbonate Facies in Geological History: Springer, Berlin, 471 p.
- 28- Milliman, J.D., 1974, Marine Carbonates Recent Sedimentary Carbonates, Part 1. Speringer-Verlag, Berlin, 375 p.
- 29- Morse, J.W., and F.T. Mackenzie, 1990, Geochemistry of Sedimentary Carbonates: Development in Sedimentology, Amsterdam (Elsevier), 48: 707 p.
- 30- Mucci, A., 1988, Manganese uptake during calcite precipitation from sea water: conditions leading to the formation of a pseudokutnahorite: *Geochimica et Cosmochimica Acta*, v. 52, p. 1859-1868.
- 31- Rao, C.P., 1990, Petrography, trace elements and oxygen and carbon isotopes of Gordon Group carbonates (Ordovician), Florentine Valley, Tasmania, Australia: *Sedimentary Geology*, v. 66, p. 83–97.
- 32- Rao, C.P., 1991, Geochemical differences between subtropical (Ordovician), temperate (Recent and Pleistocene) and subpolar (Permian) carbonates, Tasmania, Australia: *Carbonates and Evaporites*, v. 6, p. 83-106.
- 33- Rao, C.P., and M.H. Adabi, 1992, Carbonate minerals, major and minor elements and oxygen and carbon isotopes and their variation with water depth in cool, temperate carbonates, western Tasmania, Australia: *Marine Geology*, v. 103, p. 249-272.
- 34- Rao, C.P., and Z.Z. Amini, 1995, Faunal relationship to grain-size, mineralogy and geochemistry in recent temperate shelf carbonates, western Tasmania, Australia: *Carbonates and Evaporites*, v. 10, p. 114-123.
- 35- Rao, C.P., and M.P.J. Jayawardane, 1994, Major minerals, elemental and isotopic composition in modern temperate shelf carbonates, eastern Tasmania, Australia: implications for the occurrence of extensive ancient non-tropical carbonates: *Palaeogeography, Palaeoclimatology, Palaeoecology*, v. 107, p. 49–63.
- 36- Rao, C.P., and C.S. Nelson, 1992, Oxygen and carbon isotope fields for temperate shelf carbonates from Tasmania and New Zealand: *Marine Geology*, v. 103, p. 273-286.